# 100-20095055 非接触空中超音波探傷検査法の開発\*

高橋 雅和<sup>1)</sup> 星野 秀和<sup>1)</sup> 小倉 幸夫<sup>1)</sup>

Development of Non Contact Air Coupled Ultrasonic Testing

Masakazu Takahashi Hidekazu Hoshino Yukio Ogura

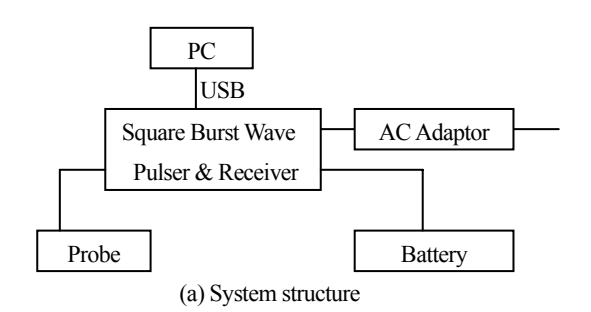
We have developed non contact air coupled ultrasonic testing (NAUT) by the powerful square burst wave pulser and receiver, This paper describes the optimum selection of frequency, wave number, the incident angle and probes by NAUT. And it also describes the applications of the defect detection in the thin plate in the weld.

Key Words: Square Burst wave, Non Contact, Air Coupled, Ultrasonic Testing, Plate Wave 4

#### 1.まえがき

ハイパワー矩形バースト波を用いた非接触空中超音波検査技術(Non Contact Air Coupled Ultrasonic Testing: NAUT)を開発した。矩形バースト超音波はパルス超音波に比較して強力なパワーが出せること、周波数や波数が容易に可変でき最適探傷条件を見いだし易いなどの利点がありハイパワーで送受信が必要なNAUTに適している。本報告では矩形バースト波を用いたNAUTについて原理、適正な周波数、波数、入射角及び探触子の選定方法及び薄板のきず検出、溶接部の欠陥探傷などの応用例について述べる。

#### 2.バースト波・チャープ波を発生させる複合装置





(b) Ultrasonic pulser & receiver

Fig.1. Outside appearance of pulser & receiver and system structure バースト波を発生させる装置としてファンクション・ジェネ

\*2009年5月20日自動車技術協会春季学術講演会において発表, 1)ジャパンプローブ(株)232-0033 横浜市南区中村町 1-1-14 レータ、ファンクション・シンセサイザ、トーンバーストジェネレータなどがある。しかし、高出力のバースト波を発生するものは少ない。最近、著者らは「1,2)、矩形バースト波・チャープ波複合装置を開発した。この装置は小型・軽量でパソコンによる制御及びデータ管理が出来ること、600Vまでの矩形バースト波・チャープ波を発生させることができ、また発信周波数は30KHz~10MHz、バースト波の波数は1~31波まで1ステップ毎に容易に可変できて、電源はDC12V、バッテリ駆動が可能などの特長がある。図1はバースト波・チャープ波パルサ・レシーバの外観とシステム構成を示す。

#### 3.NAUT の原理<sup>4)</sup>

通常の超音波探傷では図2に示すように超音波を伝搬させるため探触子と試験体の間に油、水等の接触媒質(超音波を伝搬させる媒質)が必要であるが、NAUTでは図3に示すように空気を媒体とするので、非接触で超音波探傷が可能である。しかし、探触子から空中に超音波が伝搬する場合に、探触子と空気の音響インピーダンス(音速と密度の積)の相違によって、大きなエネルギー損失(金属で約90dB)が生じ、この大

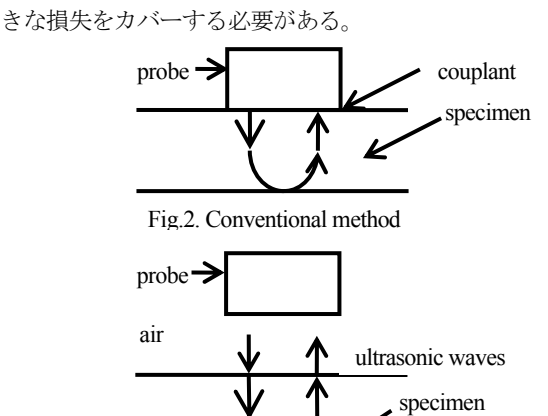


Fig.3. NAUT

#### 3.1. NAUT の距離特性

距離特性とは送信及び受信探触子間距離と透過波の大きさの関係を表したもので、図4に示す透過法で探触子間距離Lと透過波の大きさの関係を測定した。探触子は0.2K25×25N、0.4K14×20N、0.8K14×20Nの3種類で、振動子材質はコンポジットである。周波数は公称周波数200KHz、400KHz 及び800KHzのものを用いた。図5に透過法における距離特性の結果を示す。

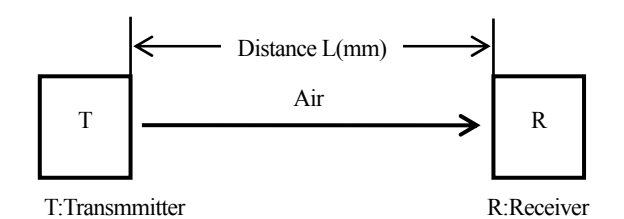


Fig.4. Experimental method of distance amplitude chracteristic

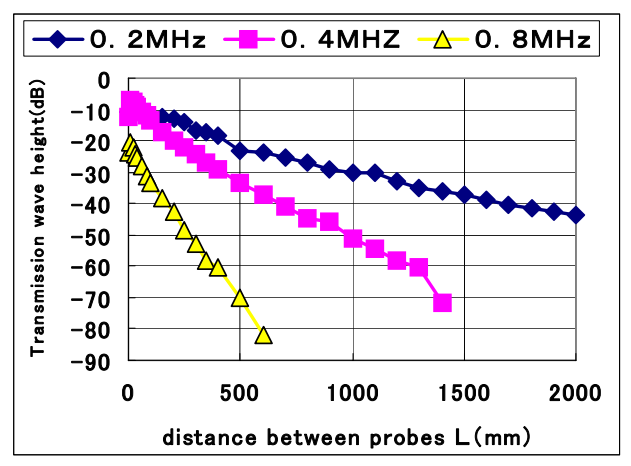


Fig.5. Distance amplitude curve of transmission wave in NAUT

Table 1 The apparent attenuation

	11	
Probe type	Attenuation coefficient(dB/m)	L
0.2K25 × 25N	16.5	L
$0.4$ K $1.4 \times 20$ N	39.5	
0.8K14×20N	97.7	L

表1に空気中の見かけの減衰係数(図5における各透過波の 勾配)を示す。各種の探触子の距離特性を検討した結果、①周 波数によって距離特性は異なる。距離特性には、ビームの拡 散損失と、空気中の超音波の減衰が影響する。②周波数が 200KHzでは、空気の見かけの減衰は無視できる程度で小さ く距離特性は拡散損失で決まる。即ち遠距離では透過波は距 離に逆比例する。③周波数が400KHz~800KHzでは、拡散損 失以外に空気中の減衰を無視できない。特に周波数が 800KHzでは空気中の見かけの減衰は大きい。

### 3.2. 探触子の指向性

図 6 に探触子の指向性測定方法を示す。 受信探触子の前面に、厚さ 2mm の SUS 板に  $\phi$  1mm の貫通穴を加工した遮蔽板を取り付けた。送信探触子 T から送信された超音波が  $\phi$ 

1mm の穴を透過し受信探触子 R で受信するようにした。測定に用いた探触子は表 1 に示す公称周波数 0.4MHz、振動子寸法  $14\times20mm$  である。探触子間距離 L は、L=10、50、120mm である。図  $7\sim$ 図 8 に指向性の測定例を示す。

①寸法 20mm 方向(Y-Y 方向)の指向性は、近距離(L= $10\sim50mm$ )ではほぼビームは平行に近く、-6B ビーム幅は  $18\sim19mm$  である。距離が L=120mm と遠くなるとビームは広がりはじめる。この時の-6dB ビーム幅 は約 20mm である。②寸法 14mm 方向(X-X 方向)の指向性は、近距離( $L=10\sim50mm$ )ではほぼビームは平行に近く、-6dB ビーム幅は  $12\sim14mm$  である。 距離が L=120mm と遠くなるとビームは広がり、-6dB ビーム幅は約 17mm である。

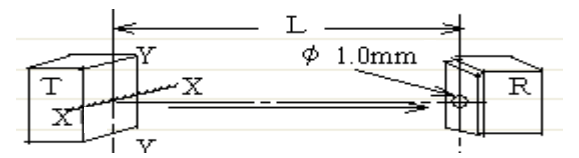


Fig.6. The method of measuring probe directivity

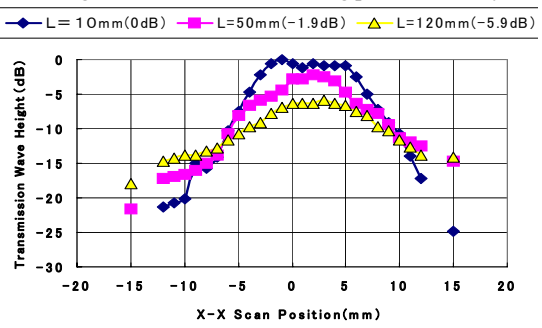
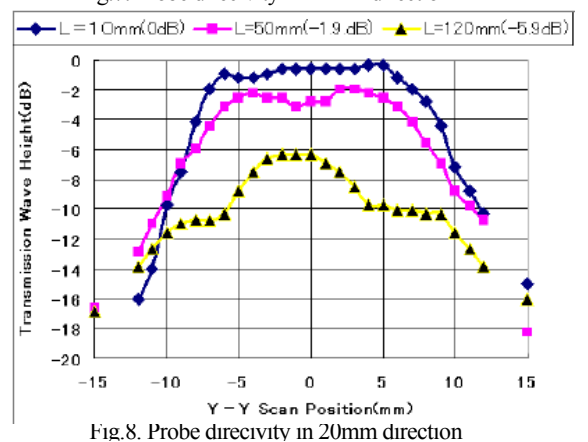


Fig.7. Probe directivity in 14mm direction



#### 3.3. 垂直入射の透過率

図9に示すように探触子⇒空気⇒試験体⇒空気⇒探触子の経路を考え、空気と試験体の音響インピーダンスを $Z_1$ 、 $Z_2$ とすると、超音波が空気を伝搬してA面で試験体を透過して再びB面で空気中に透過する透過率 $t_{1\cdot2\cdot1}$ は、超音波が空気⇒試験体に透過する透過率 $t_{1\cdot2}$ とB面で再び試験体⇒空気に透過する透過率 $t_{2\cdot1}$ の積で表わされる。

t<sub>1-2</sub>、t<sub>2-1</sub>は式(1)、空気⇒試験体⇒空気の透過率 t<sub>1-2-1</sub>は式(2) で与えられる <sup>3)</sup>。

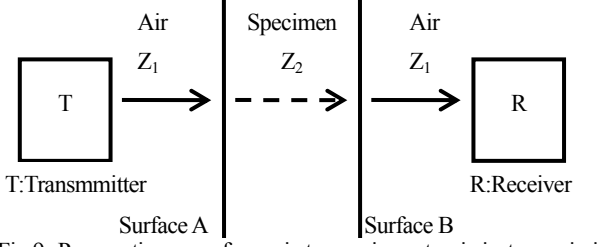


Fig.9. Propagation pass from air to specimen to air in transmission

$$t_{1-2} = \frac{2Z_2}{(Z_1 + Z_2)} t_{2-1} = \frac{2Z_1}{(Z_1 + Z_2)}$$
(1)  
$$t_{1-2-1} = t_{1-2} \cdot t_{2-1} = \frac{2Z_2 \cdot 2Z_1}{(Z_1 + Z_2) (Z_1 + Z_2)} = \frac{4Z_1Z_2}{(Z_1 + Z_2)^2}$$
(2)

$$t_{1-2-1} = t_{1-2} \cdot t_{2-1} = \frac{2Z_2 \cdot 2Z_1}{(Z_1 + Z_2) (Z_1 + Z_2)} = \frac{4Z_1Z_2}{(Z_1 + Z_2)^2}$$
(2)

例えば、空気と鋼の場合は $Z_1$ =340m/s×0.0013 $g/cm^3$ =0.442m・ g/s/cm³、Z<sub>2</sub>=5900m/s×7.8/cm³=46020m・g/s/cm³、従って、式 (2)の透過率は 0.0000399(-88.0dB)、又 CFRP(炭素繊維強化プ ラスチツク)の場合には、 $Z_2$ =4483 $m \cdot g/s/cm^3$ 程度であるから その透過率 t<sub>1-2-1</sub>は 0.000394(-68.1dB)となる。実験した結果で は鋼で-90.2dB、CFRPで-71.3dBであり計算値とよく一致した。 以上の検討結果、この損失をカバーするには①ハイパワーで 送受信できる矩形バースト波パルサ・レシーバ、②高感度の NAUT 用探触子、③本体にインピーダンスと周波数をマッチ ングさせた 60dB の外部プリアンプが必要である 1),4)。

#### 3.4. 斜め入射の透過率

超音波が試験体に垂直入射した場合よりも斜め入射するこ とで更に効率良く超音波を透過できる。図10に示すように、 板に斜めに入射して透過するとき、その透過率は理論的に導 かれ  $^{5}$ 、入射角  $\theta$  におけるエネルギー透過率  $T_{\rm C}$  は式(3)で与え られる。

$$T_{C} = \frac{4N^{2}}{4M^{2} + (N^{2} - M^{2} + 1)}$$
(3)

$$N = \frac{Z_1 cos^2 2\theta_1}{Z sink_{1y} d} + \frac{Z_t sin^2 2\theta_t}{Z sink_{ty} d}, M = \frac{Z_1 cos^2 2\theta_1}{Z tank_{1y} d} + \frac{Z_t sin^2 2\theta_t}{Z tank_{ty} d}$$
(4)

$$Z = \frac{\rho v}{\cos \theta}, Z_1 = \frac{\rho_1 v_1}{\cos \theta_1}, Z_t = \frac{\rho_1 v_t}{\cos \theta_t}, k_{ly} = \frac{\omega}{v_l} \cos \theta_t, k_{ly} = \frac{\omega}{v_t} \cos \theta_t (5)$$

$$\sin\theta = \frac{v_l}{v}\sin\theta, \sin\theta = \frac{v_t}{v}\sin\theta$$
 (6)

ここで、v は空気中の音速、 $v_l$ 、 $v_t$  は板材の縦波と横波の音 速、 $\rho$ は空気の密度、 $\rho_1$ は板材の密度、dは板の厚さ、 $\theta$ は 入射角、 $\theta_1$ 、 $\theta_1$ は板中での入射角  $\theta$  に対する縦波と横波の屈 折角、 $k_{lv}$ 、 $k_{tv}$ は板の厚さ方向の縦波と横波の波数成分、Z、 Z<sub>1</sub>、Z<sub>1</sub> は入射角を考慮した音響インピーダンス、ωは超音波 の角周波数をそれぞれ示している。図11に厚さ1mmのアル ミニウム板の透過率の実験結果と計算結果の比較 6を示す。 実験結果と計算結果は良く一致している。図 12 に透過率に関 する fd(周波数 f と試験体の板厚 d の積)と入射角 θ の関係を 示す<sup>6</sup>。図中○、□及び△は最大透過率を示す実験値で計算 値と良く対応している。

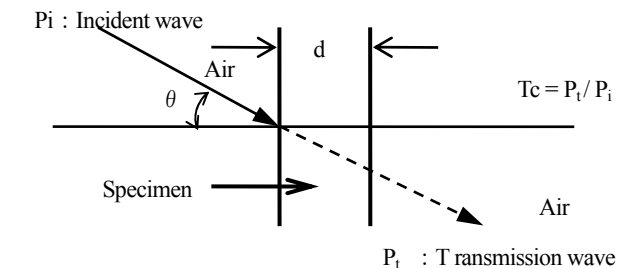


Fig.10. Calculation method of obulique transmission coefficient

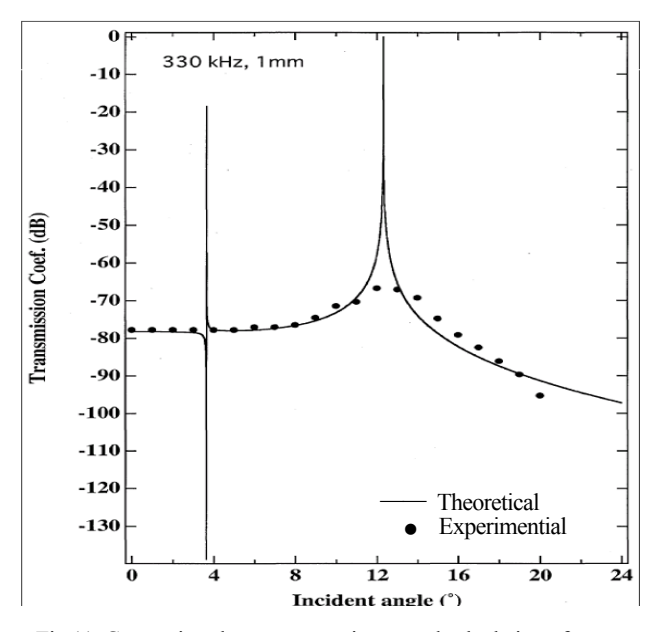


Fig.11. Comparison between experiment and calculation of transmission coefficient in incident angle(330KHz)

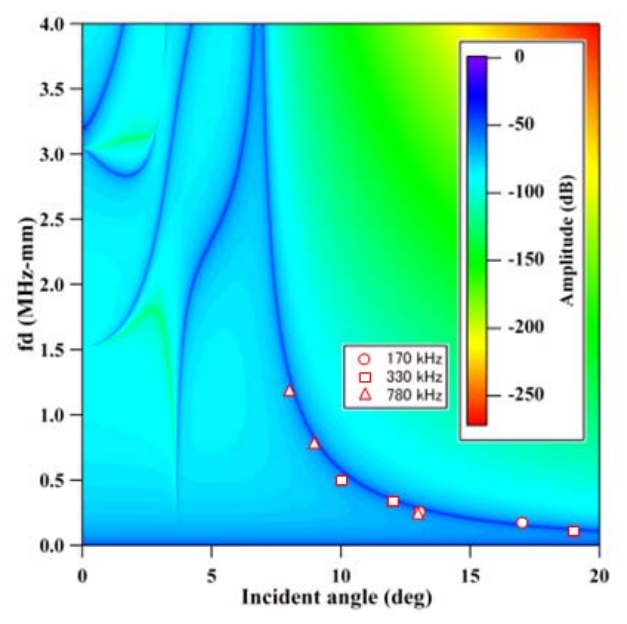


Fig. 12. Relationship between  $f^*d$  and incident angle  $\theta$ in transmission coefficient

#### 4.NAUT の応用例

## 4.1.CFRP(炭素繊維強化プラスチック) の探傷例

図13 は厚さ3mmのCFRPの中央部に衝撃荷重を加えて生じた層間剥離を透過法で探傷した透過波の分布例を示す。図14 は健全部(a)と層間剥離部(b)の透過波の例を示す。剥離部分では透過波は減少する。

また、健全部の透過波は空中のみの透過波に対して、約60dB低くなる。

#### 4.2. 板波によるステンレス鋼板の探傷例

板波(薄い板状の固体を伝搬する波)を用いて厚さ1mmのステンレス鋼板を探傷した例を図15に示す。

送信探触子Tより放射された超音波が鋼板に斜め入射すると板波が発生し、ステンレス鋼板を伝搬して受信探触子Rでエコーを受信できる。

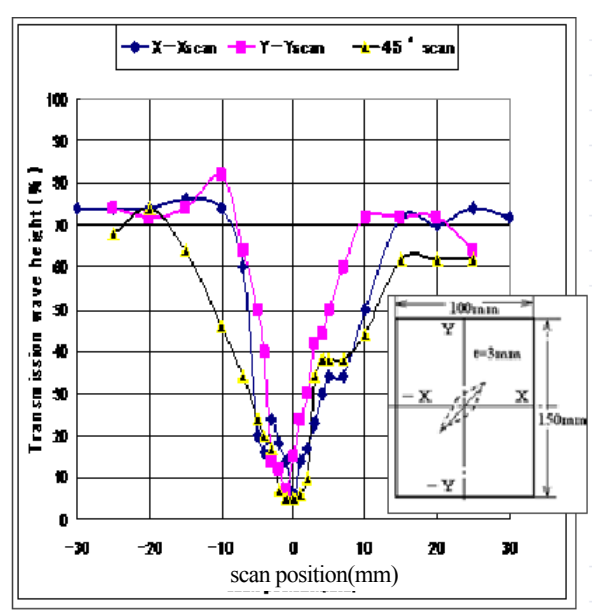


Fig. 13. The echo distribution of CFRP in detection by the transmission method

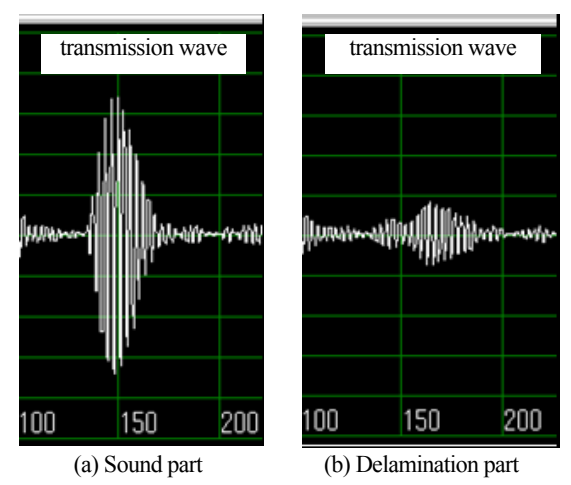


Fig.14. Ezample of he transmission echo

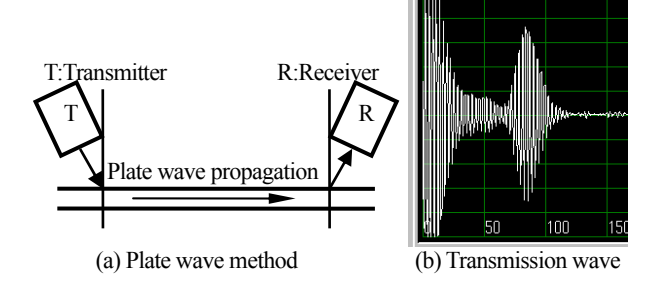
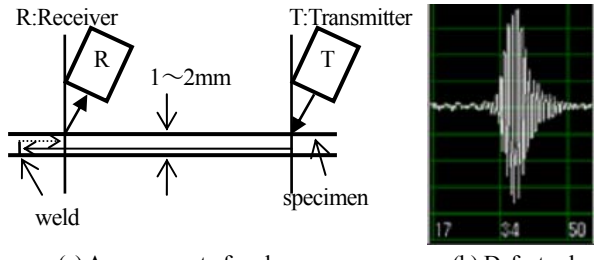


Fig. 15. Transmission method by plate wave in one side for stainless steel plate

#### 4.3. 薄板の溶接部の探傷例

図16にタンデム法による薄板の溶接部の探傷例を示す。



(a) Arrangement of probes

(b) Defect echo

Fig.16. Example of tandem method for detecting weld defect in thin plate joint

送信探触子Tより超音波を斜め入射させ板波を発生させる。 板波は薄板内を伝搬して溶接部のきずで反射する。この反射 エコーを受信探触子Rで受信する。この方法では、探触子と 試験体との距離(ギャップ)変化の影響、即ちリフトオフ効果 を受けにくいという特長がある。

## 5.まとめ

高感度の探触子とハイパワーの矩形バースト波パルサ・レシーバ及びプリアンプを用いて NAUT の適用を試みた。その結果、薄板のアルミニウム、鋼板、鋼板の溶接部などの応用が可能であることが分かった。

## 参考文献: 例えば

- (1)高橋雅和、馬場比路志: やさしい解説、バースト波(その1)、非破壊検査誌 Vol54(11), PP.591-592,(2006)
- (2)高橋雅和、馬場比路志、小倉幸夫、鎌田康寛、川嶋紘一郎: 矩形バースト波・チャープ波複合装置の開発とその応用、 第16回超音波による非破壊評価シンポジウム講演論文集、 PP. 7-11,(2009)
- (3)非破壊検査協会:超音波の反射と透過、超音波探傷試験Ⅲ、 PP.24-25,(2004)
- (4)高橋雅和、馬場比路志、小倉幸夫: 矩形バースト波を用いた空中超音波計測技術、第14回超音波による非破壊評価、シンポジウム講演論文集、6-1、PP.94-104(2007)
- (5)A. Safaeinili et al, Materials Eval., Oct.PP. 1186-1190,(1995)